

# 系统的分散与集中的决策\*

## (II)分散控制效果分析

王永初

(华侨大学精密机械工程系, 泉州 362011)

**摘要** 分散集中系统是一种重要的工业过程控制系统. 合适的分散度有利于提高系统的性能指标, 尤其是动态响应速度和误差时间的积分值都有明显地改善. 文中提出若干系统分散的选择原则, 并用仿真和理论分析加以证明.

**关键词** 分散度, 系统性能指标, 最优控制

**分类号** TB 114.2

长期以来人们形成一个观念, 集中程度愈高, 系统的控制效果愈好; 系统愈分散, 系统的安全程度愈高. 这仅是对问题认识的一个方面. 从控制目标看, 系统愈集中, 参与决策的状态变量愈多, 系统优化效果会愈好. 但从实际控制效果分析, 一个全状态众多回路状态反馈控制, 不如一个等价的多级串联的低维状态反馈控制效果. 同样, 系统愈分散, 局部子系统设备故障的危害愈低, 因而对故障系统的修复更容易. 但是, 系统太分散, 其配套设备台数增加, 失效率增大, 无故障工作时间也减少. 因此, 系统的分散程度是集散系统必须研究的一项重要内容.

### 1 系统分散有利于调节品质的提高

系统分散使调节品质提高, 这一论题在以前的文献几乎没有涉及. 由于这是一个本质的问题, 因此本文从几个方面加以论证.

#### 1.1 调节时间的比较

一个  $n$  阶的高维系统可分散成  $k$  个  $n_i$  维的子系统, 其中  $n = \sum_{i=1}^k n_i$ . 假如  $k$  个分散子系统均为等阶, 即有  $n = kn_i$ . 系统的调节时间  $t_s$  同系统固有的调节振荡角频率  $\omega_0$  直接相关<sup>[1]</sup>, 即

$$t_s \doteq 3.2 \cdot 2\pi/\omega_0. \quad (1)$$

分散子系统串接排列是系统分散最常见的一种构成形式, 其最长的调节时间, 相当于  $k$  个分散子系统的调节时间之和. 对等阶分散系统而言有

$$\bar{t}_s = \bar{t}_{i1} + \bar{t}_{i2} + \cdots + \bar{t}_{ik} = k\bar{t}_i. \quad (2)$$

为了分析方便, 可以过程控制系统一种等  $n$  阶特性为例, 因为这种特性具有普遍的意义. 对

\* 本文 1994-01-20 收到, 福建省自然科学基金资助项目

象特性为

$$G(s) = k_0 / (Ts + 1)^n, \quad (3)$$

则分散前后调节时间比为

$$\frac{t_s}{\bar{t}_s} = \frac{t_s}{k\bar{t}_s} = \frac{w_{oi}}{kw_o} = \tan\left(\frac{k \cdot 180^\circ}{n}\right) / k \tan\left(\frac{k \cdot 180^\circ}{n}\right). \quad (4)$$

当  $n$  为一个相当大的数时, 可得

$$\frac{t_s}{\bar{t}_s} \approx \left[ \frac{k \cdot 180^\circ}{n} + \frac{1}{3} \left( \frac{k \cdot 180^\circ}{n} \right)^3 \right] / k \left[ \frac{180^\circ}{n} + \frac{1}{3} \left( \frac{180^\circ}{n} \right)^3 \right] > 1, \quad (5)$$

即  $t_s > \bar{t}_s$ .

这就证明分散系统调节时间总和  $\bar{t}_s$  小于原来未分散系统的调节时间. 例如  $n=12$ , 分散成三个阶次为  $n_i=4$  的子系统, 调节时间可以缩短 19.64%. 这是分散调节的一个优点. 由式(4)还可以得到  $k \approx n/2$ , 调节时间可减少最多. 系统最优分散数为  $k = \text{integer}(\frac{n}{2} + 1)$ , 式中  $\text{integer}(\quad)$  表示取括号中的整数.

## 1.2 调节精度的比较

调节过程是一个动态过程, 加上许多系统的设计都倾向于无余差(即稳态误差)调节, 因此系统的精度经常是以某一个误差函数来表征的. 例如, ISE 准则:  $J = \int_{-\infty}^{\infty} e^2(t) dt$ ; ISTSE 准则:  $J = \int_{-\infty}^{\infty} [e(t)t]^2 dt^{(2)}$ . 这些准则函数值愈小, 说明系统的调节精度愈高. 由系统的误差传递函数可以直接计算  $J$  值. 记  $F(s)$  为系统误差的传递函数, 是一个  $s$  算子的有理多项式

$$E(s) = \frac{c_{n-1}s^{n-1} + c_{n-2}s^{n-2} + \dots + c_1s + c_0}{d_n s^n + d_{n-1}s^{n-1} + \dots + d_1s + d_0} \triangleq \frac{C_n(s)}{D_n(s)}, \quad (6)$$

则对于 ISE 准则<sup>(3)</sup>, 有

$$J = \sum_{r_-} \text{Res} [E(s)E(-s)], \quad (7a)$$

对于 ISTSE 准则, 有

$$J = \sum_{r_-} \text{Res} \left[ \frac{dE(s)}{ds} \cdot \frac{dE(-s)}{ds} \right]. \quad (7b)$$

直接由式(7a)或(7b)计算  $J$  值, 在低阶系统设计时还是有用. 但是当  $E(s)$  的阶次较高时, 计算  $J$  值仍然非常困难. 例如, ISE 准则二阶误差函数对应的  $J_2$  值为

$$J_2 = d_0 c_1^2 + c_0^2 d_2 / 2d_0 d_1 d_2, \quad (8)$$

三阶误差传递函数对应的  $J_3$  值为

$$J_3 = \frac{c_2^2 d_0 d_1 + (c_1^2 - 2c_0 c_2) d_0 d_3 + c_0^2 d_2 d_3}{2d_0 d_3 (d_1 d_2 - d_0 d_3)}, \quad (9)$$

四阶误差传递函数对应的  $J_4$  值更加复杂. 为此, 本文采用一种递推降阶模型计算  $J_n$  的方法. 式(6)分母与分子多项式降一阶为

$$D_{n-1}(s) = D_n(s) - \frac{d_n}{d_{n-1}} s \cdot \bar{D}_n(s), \quad (10a)$$

$$C_{n-1}(s) = C_n(s) - \frac{c_{n-1}}{d_{n-1}} s \cdot \bar{D}_n(s). \quad (10b)$$

其中,  $\bar{D}_n(s) = \frac{1}{2}[D_n(s) - (-1)^n D_n(-s)]$ . 且  $J_n$  可写成

$$J_n = \sum_{r=1}^n \text{Res} [E_1(s)E_1(-s)] + \frac{c_{n-1}^2}{2d_n d_{n-1}}, \tag{11}$$

式中  $E_1(s)$  为  $E(s)$  分母与分子多项式各降一阶, 或记成

$$J_n = J_{n-1}(1) + c_{n-1}^2/2d_n d_{n-1}. \tag{12}$$

同理,  $J_{n-1}(1) = J_{n-2}(2) + C_{n-2}^2(1)/2d_{n-1}(1)d_{n-2}(1)$ . 这是  $J_{n-1}(1), J_{n-2}(2), C_{n-2}(1)$  等括号中的数, 是表示第几次降阶. 因此,  $J_{n-1}(1)$  是表示一次降阶的  $n-1$  阶误差函数的准则函数值

于是, 准则函数值可由一个通式表示为

$$J_{n-i}(i) = J_{n-(i+1)} + \frac{C_{n-(i+1)}^2(i)}{2d_{n-i}(i)d_{n-(i+1)}(i)}, \tag{13}$$

且

$$J_n = \frac{c_{n-1}^2}{2d_n d_{n-1}} + \frac{C_{n-2}^2(1)}{2d_{n-1}(1)d_{n-2}(1)} + \dots + \frac{C_{n-i}^2(i)}{2d_{n-i}(i)d_{n-(i+1)}(i)} + \dots + \frac{C_0^2(n-1)}{2d_1(n-1)d_0(n-1)}. \tag{14}$$

我们在文[4]给出 1~12 阶闭环系统的传递函数. 根据误差传递函数  $E(s)$  与闭环传递函数  $W(s)$  的关系, 有

$$E(s) = (1 - W(s))R(s), \tag{15a}$$

其中  $R(s)$  为闭环系统输入信号的传递函数, 且知  $W(s)$  与开环传递函数  $G(s)$  的关系为

$$G(s) = W(s)/(1 - W(s)), \tag{15b}$$

以及输出被控制信号的传递函数  $Y(s) = G(s)E(s)$ , 立即可得式(15a)的关系式. 因此, 当  $W(s)$  及  $G(s)$  给出后,  $E(s)$  便可直接由式(15b)得到. 例如, 文[4]给出六阶闭环系统的最优传递函数为

$$W(s) = (s^6 + 3.8637s^5 + 7.464s^4 + 9.1415s^3 + 7.464s^2 + 3.8637s + 1)^{-1}, \tag{16}$$

假设  $R(s) = s^{-1}$  (即单位阶跃信号), 按式(15)的关系可求得

$$E(s) = \frac{s^5 + 3.8637s^4 + 7.464s^3 + 9.1415s^2 + 7.464s + 3.8637}{s^6 + 3.8637s^5 + 7.464s^4 + 9.1415s^3 + 7.464s^2 + 3.8637s + 1}. \tag{17}$$

为了应用式(14)的计算式, 将式(17)记成

$$E(s) = C_n(s)/D_n(s), \tag{18}$$

其中  $C_n(s) = c_5s^5 + c_4s^4 + c_3s^3 + c_2s^2 + c_1s + c_0, D_n(s) = d_6s^6 + d_5s^5 + d_4s^4 + d_3s^3 + d_2s^2 + d_1s + d_0$ , 这里  $c_5 = d_6 = d_1 = 1, c_4 = d_5 = d_1 = c_0 = 3.8637, c_3 = d_4 = d_2 = c_1 = 7.464, c_2 = d_3 = 9.1415$ . 表 1 与表 2 分别作出  $D_n(s)$  与  $C_n(s)$  的降阶系数.

$C_n(s)$  降一阶模型为  $C_{n-1}(s)$ , 有

$$\begin{aligned} C_{n-1}(s) &= C_4(s) = C_4(1)s^4 + C_3(1)s^3 + C_2(1)s^2 + C_1(1)s + C_0(1) \\ &= c_4s^4 + (c_3 - \frac{c_5}{d_5}d_3)s^3 + C_2(1)s^2 + (c_1 - \frac{c_5}{d_5}d_1)s + c_0. \end{aligned} \tag{19}$$

$C_{n-1}(s)$  再降一阶的模型为

$$C_3(s) = C_3(2)s^3 + C_2(2)s^2 + C_1(2)s + C_0(2)$$

$$=C_3(1)s^3 + (C_2(1) - \frac{C_4(1)d_2(1)}{d_4(1)}s^2 + C_1(1)s + (C_0(1) - \frac{C_4(1)}{d_4(1)}d_0(1))). \quad (20)$$

表1  $d_n(i)$ 系数表<sup>①</sup>

$i$ 值	$d_6(i)$	$d_5(i)$	$d_4(i)$	$d_3(i)$	$d_2(i)$	$d_1(i)$	$d_0(i)$
0	1.000 0	3.863 7	7.464 0	9.141 5	7.464 0	3.863 7	1.000 0
1		3.863 7	5.098 1	9.141 5	6.464 0	3.863 7	1.000 0
2			5.098 1	4.242 1	6.464 0	3.105 8	1.000 0
3				4.242 1	2.731 5	3.105 8	1.000 0
4					2.731 5	1.552 8	1.000 0
5						1.552 8	1.000 0

①  $d_n(i)$ 中的  $i$  为降阶序号, 表2  $C_n(i)$ 中的  $i$  也同

其他降阶的模型与上述结构类似. 表2为  $C_n(i)$ 系数的计算结果.

表2  $C_n(i)$ 系数表

$i$ 值	$C_5(i)$	$C_4(i)$	$C_3(i)$	$C_2(i)$	$C_1(i)$	$C_0(i)$
0	1.000 0	3.863 7	7.464 0	9.141 5	7.464 0	3.863 7
1		3.863 7	5.098 0	9.141 5	6.464 0	3.863 7
2			5.098 0	4.242 6	6.464 0	3.105 8
3				4.242 6	3.091 6	3.105 8
4					3.091 6	1.552 6
5						1.552 6

由式(14)知道  $J_6$  为

$$J_6 = \frac{C_5}{2d_6d_5} + \frac{C_4(1)}{2d_5(1)d_4(1)} + \frac{C_3(2)}{2d_4(2)d_3(2)} + \frac{C_2(3)}{2d_3(3)d_2(3)} + \frac{C_1(4)}{2d_2(4)d_1(4)} + \frac{C_0(5)}{2d_1(5)d_0(5)} = 1.392 9. \quad (21)$$

若将一个六阶系统分散成立3个二阶系统, 每个二阶系统均调整到具有最优的闭环传递函数<sup>(5)</sup>

$$W(s) = \frac{1}{(s^2 + 1.414 2s + 1)}, \quad (22)$$

则知在单位阶跃输入信号作用下, 误差函数为<sup>(4)</sup>

$$E(s) = (c_1s + c_0)/(d_2s^2 + d_1s + d_0) \triangleq C_2(s)/D_2(s), \quad (23)$$

其中  $d_2=d_0=c_1=1, d_1=c_0=1.414 2$ . 式(23)分母与分子多项式各降一阶为

$$C_1(s)/D_1(s) = c_0/(d_1s + d_0), \quad (24)$$

故知干扰落在最后一个分散系统, 其准则值为

$$J_2 = c_1/2d_2d_1 + c_0/2d_1d_0 = 0.853 5. \quad (25)$$

当干扰落在前两个分散系统的情况可由图1说明. 对于干扰  $f_2(s)$  落在(I)分散系统的场合,  $f_2(s)$  首先经(I)分散子系统输出信号  $R_3(s)$ , 再影响主控变量  $Y(s)$  的误差  $E(s)$ . 即

$$E(s) = \frac{d_2s_2 + d_1s}{d_2s^2 + d_1s + d_0} \cdot \frac{1}{d_2s_2 + d_1s + d_0} \cdot \frac{1}{s}$$

$$= \frac{c_1^* s + c_0^*}{d_4^* s^4 + d_3^* s^3 + d_2^* s^2 + d_1^* s + d_0^*}, \quad (26)$$

式中  $c_0^* = d_1 = 1.414 2, c_1^* = d_2 = 1, d_4^* = d_0^* = 1, d_3^* = 2d_2d_1 = 2.828 4, d_2^* = 2d_2d_0 + d_1^2 = 4, d_1^* = 2d_1d_0 = 2.828 4$ . 或写成

$$E(s) = (s + 1.414 2)/(s^4 + 2.828 4s^3 + 4s^2 + 2.828 4s + 1). \quad (27)$$

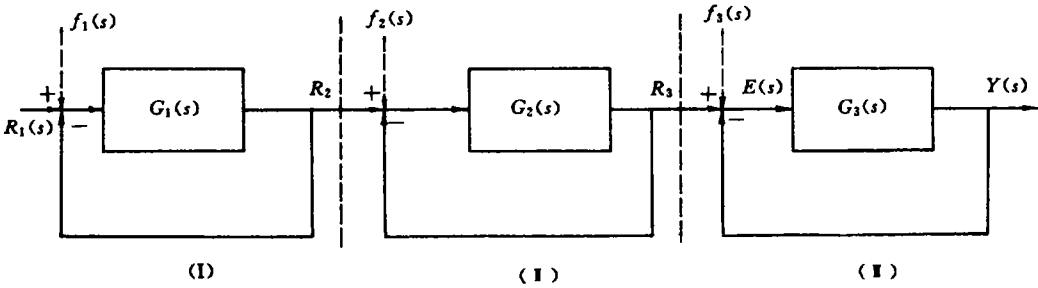


图 1 六阶系统三段分散结构图

式(27)的分母与分子多项式,依次进行降阶可得到  $D_n(s)$  序列为

$$\begin{aligned} & s^4 + 2.828 4s^3 + 4s^2 + 2.828 4s + 1 \\ & 2.828 4s^3 + 3s^2 + 2.828 4s + 1 \\ & 3s^2 + 1.885 6s + 1 \\ & 1.885 6s + 1 \end{aligned}$$

$C_n(s)$  序列:  $C_{n-2}(2)$  为  $s + 1.414 2$ ;  $C_{n-3}(3)$  为  $1.414 2$ . 故有

$$2J_2 = \frac{C_1(2)}{2d_2(2)d_1(2)} + \frac{C_0(3)}{2d_1(3)d_0(3)} = 0.088 4 + 0.375 0 = 0.463 4.$$

同理,可以求出  $f_3(s)$  落在(III)分散子系统的准则函数值为  $3J_2 = 0.573 2$ . 不管干扰处于何种分散区域,分散后的系统比分散前的系统有更高的调节品质,即  $J$  值更小. 图 2 分别表示分散前及分散后三种情况的系统响应曲线. 图中曲线 a 为原六阶系统的响应; 曲线 b, c, d 分别为 3 个分散二阶系统的响应, 其中 b 干扰位于(III)子系统, c 干扰位于(II)子系统, d 干扰位于(I)子系统. 无论是 b, c 或 d, 控制品质都较 a 有较大改善.

一个六阶的系统还可以分散成两个三阶系统的串联结构. 此时,最后一级分散子系统,在单位阶跃扰动的作用下,其误差函数为

$$E(s) = \frac{d_3s^2 + d_2s + d_1}{d_3s^3 + d_2s^2 + d_1s + d_0}, \quad (28)$$

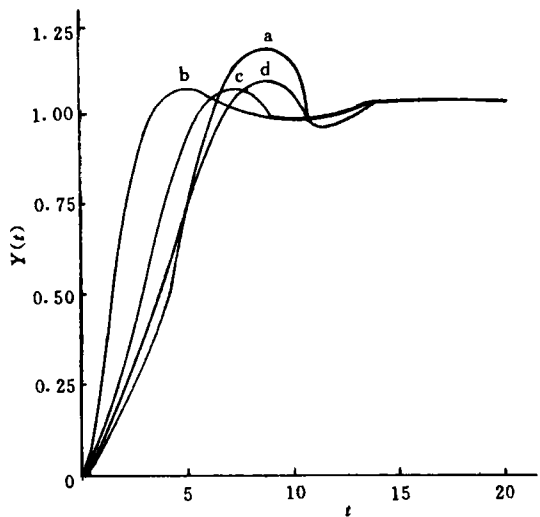


图 2 分散前后系统单位阶跃响应过程比较

式中  $d_3=1, d_2=3, d_1=2, d_0=1$ . 准则函数值的计算结果为  $J_3=0.8667$ . 当干扰作用于第一级分散子系统时, 有  $E(s)=c(c_2s^2+c_1s+c_0)/(d_6s^6+d_5s^5+d_4s^4+d_3s^3+d_2s^2+d_1s+d_0)$ , 其中  $c_2=1, c_1=3, c_0=2; d_6=d_0=1, d_5=d_1=3.8637, d_4=d_2=7.464, d_3=9.1415$ . 准则函数值的计算结果为  $2J_3=0.9336$ . 上述结果, 我们不难得出分散子系统的阶次以二阶为最佳的结论.

## 2 结束语

无论从系统的调节时间, 或者系统品质准则函数值和系统的可靠度分析看, 分散集中系统均有较理想的结果. 从这三个不同的角度分析, 均得到分散子系统的阶次以二阶系统最为理想.

### 参 考 文 献

- 1 王永初. 自动调节系统工程设计. 北京: 机械工业出版社, 1983. 42~50
- 2 Mahmood M S, Singh M G. Large seals systems modelling. Oxford: Pergamon Press, 1981. 302~337
- 3 Richard C D. Modern control system. New York: Addison-Wesley, 1991. 264~308
- 4 王永初. 系统的分散与集中决策( I ). 华侨大学学报(自然科学版), 1994, 15(2): 200~204
- 5 Frank L L. Optimal control. New York: John. Wiley & Son., 1988. 322~333

## Decision about Decentralization and Centralization of System

### ( I ) Analysis of the Effect of Decentralized Control

Wang Yongchu

(Dept. of Precis. Mech. Eng., Huaqiao Univ., 362011, Quanzhou)

**Abstract** Decentralized and centralized system is an important control system of industrial processes. Appropriate dispersion degree helps to improve the performance indices of a system, by which the speed of dynamic response and the integral quantity of error-time can be improved distinctly in particular. Several principles for choosing dispersion of system are proposed and proved by simulation and theoretical analysis.

**Keywords** dispersion degree, performance index of system, optimal control